

2/19

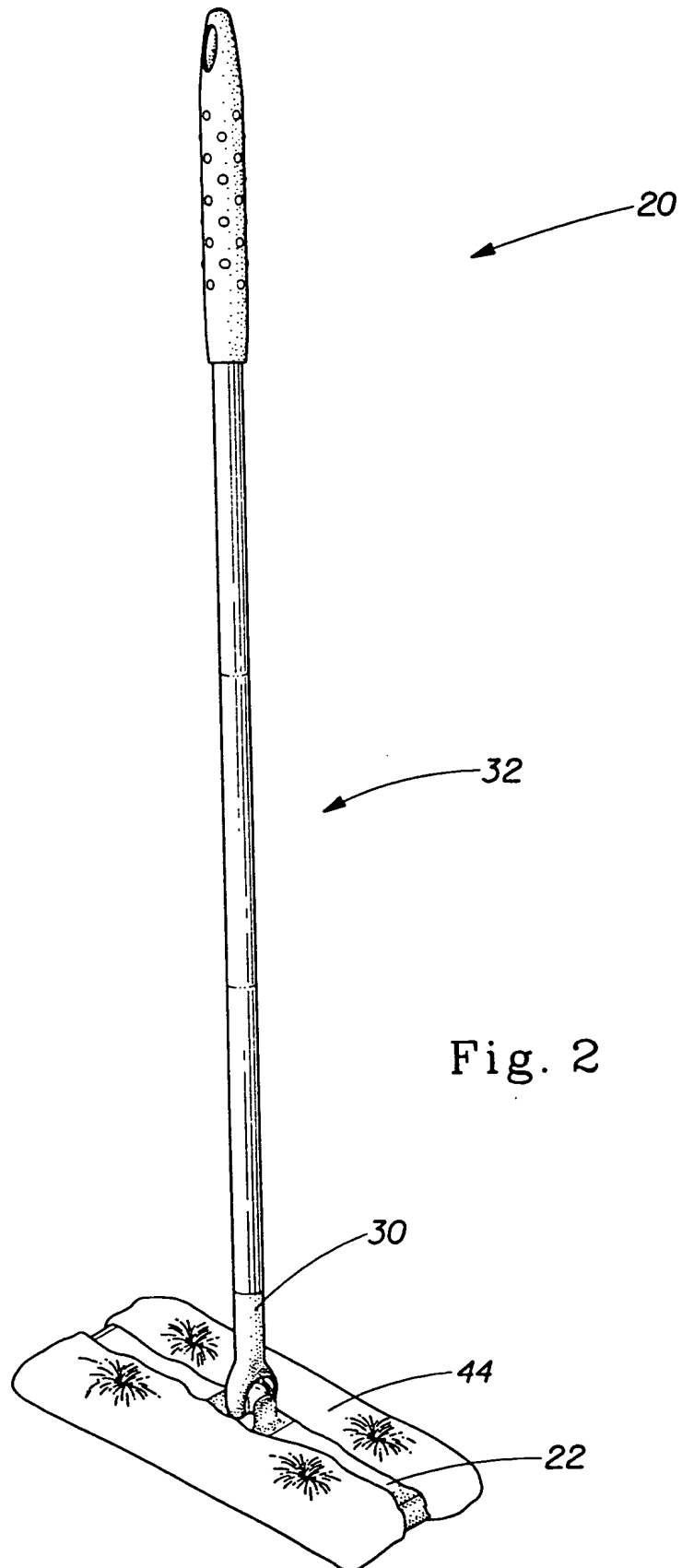


Fig. 2

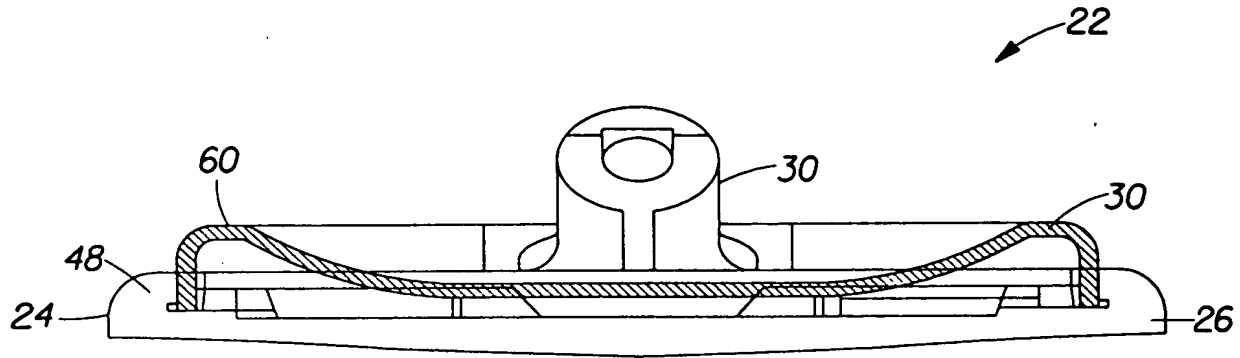


Fig. 3

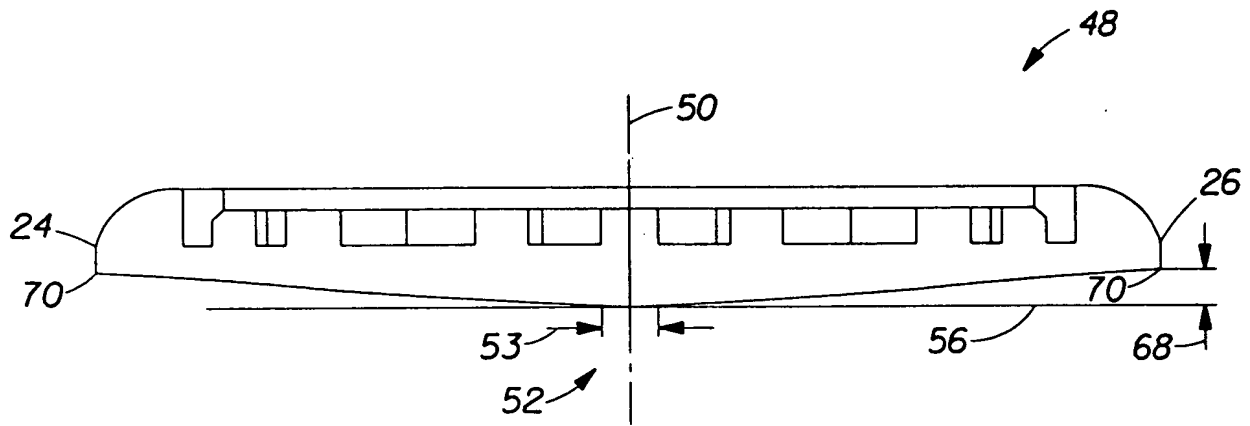


Fig. 4

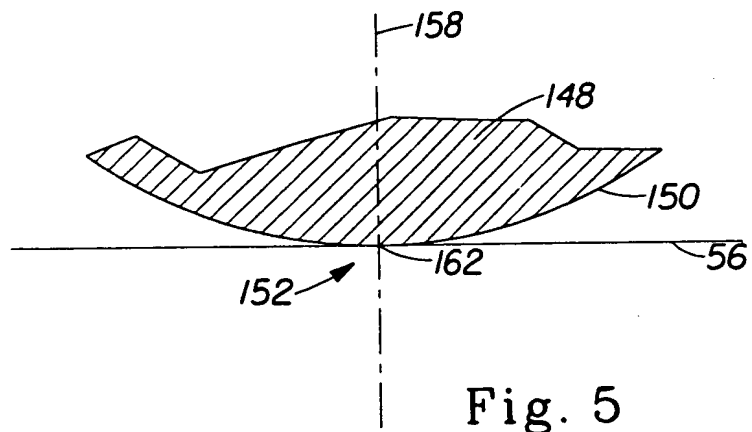


Fig. 5

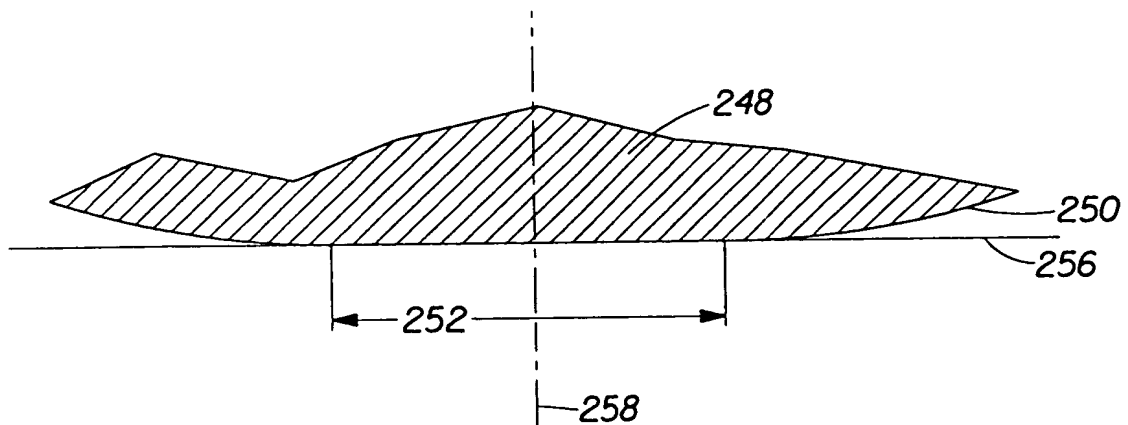
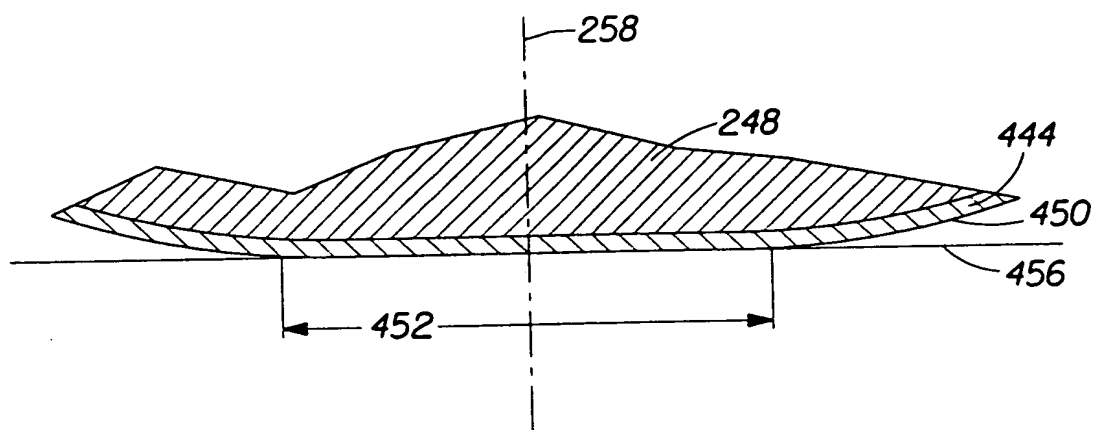
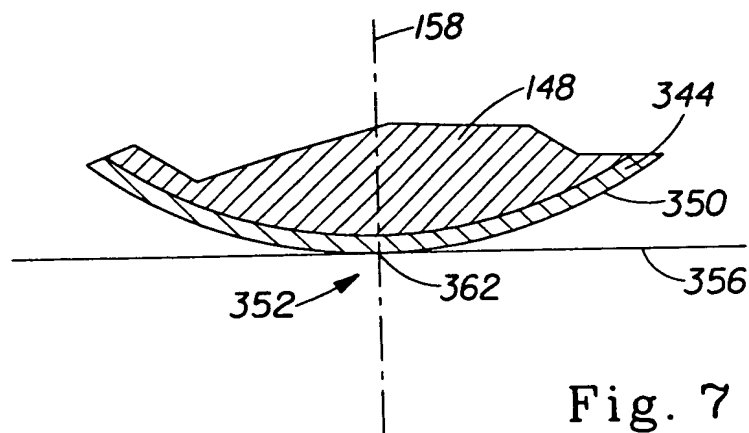


Fig. 6



6/19

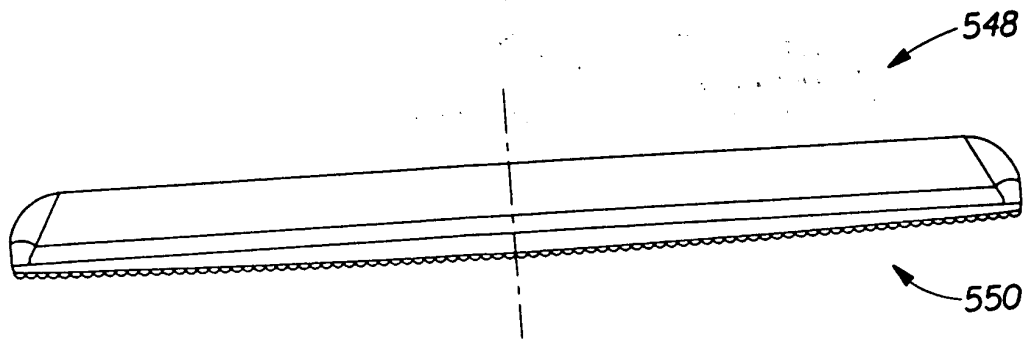


Fig. 9

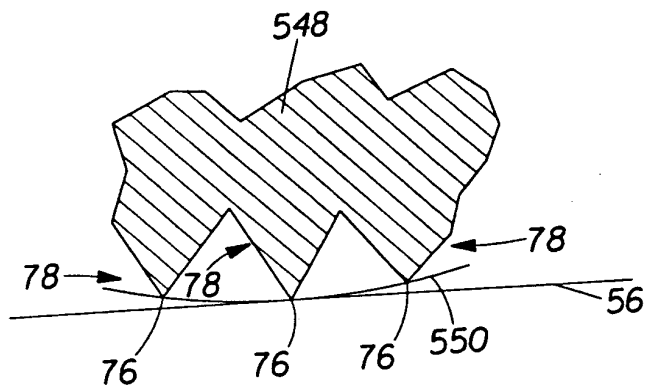


Fig. 10

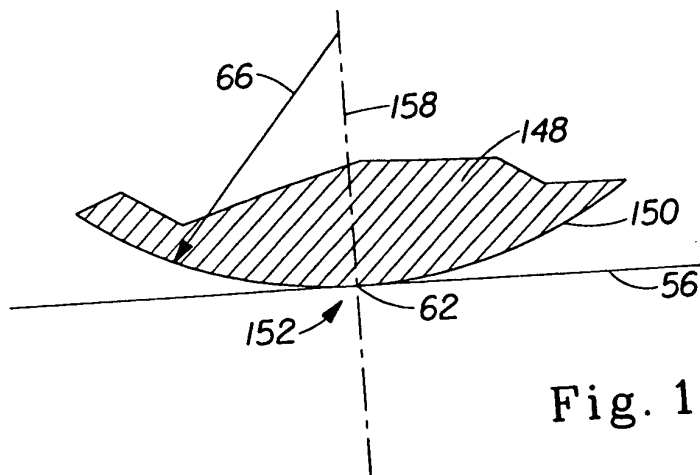


Fig. 11

7/19

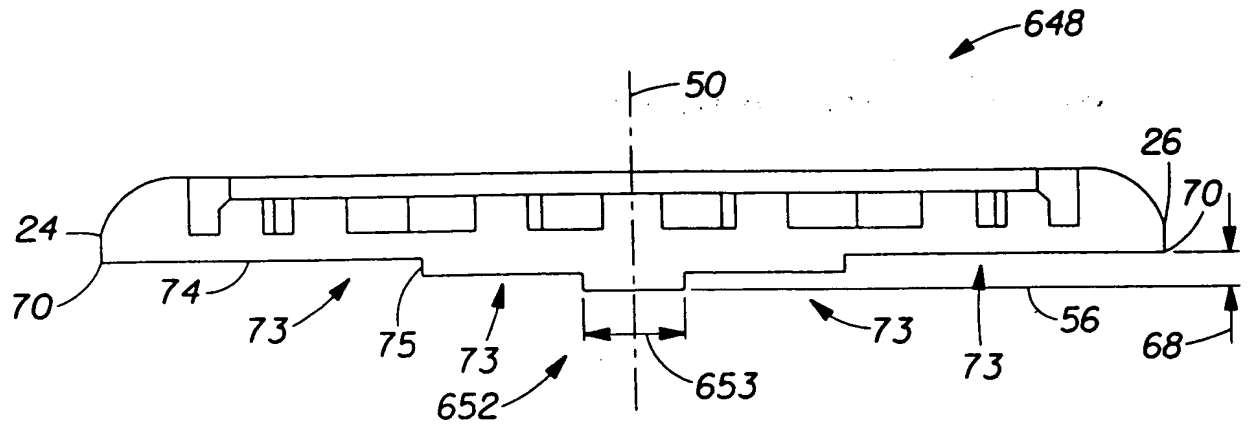


Fig. 12

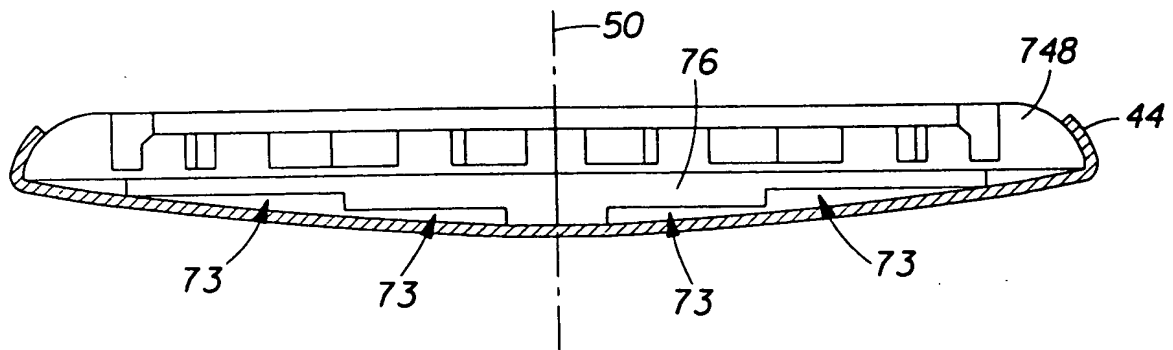


Fig. 13

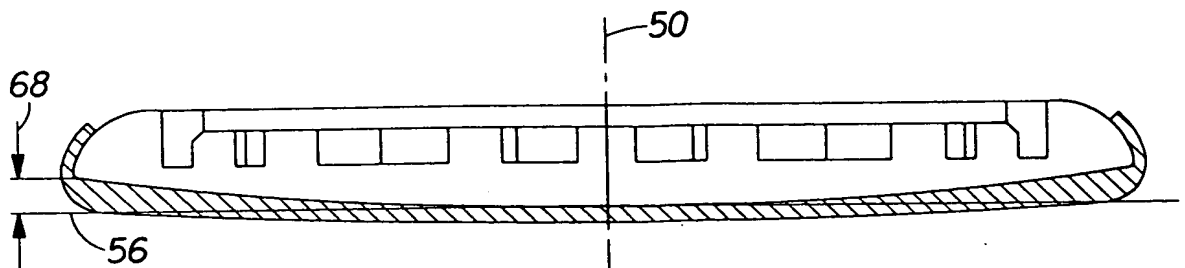


Fig. 14

8/19

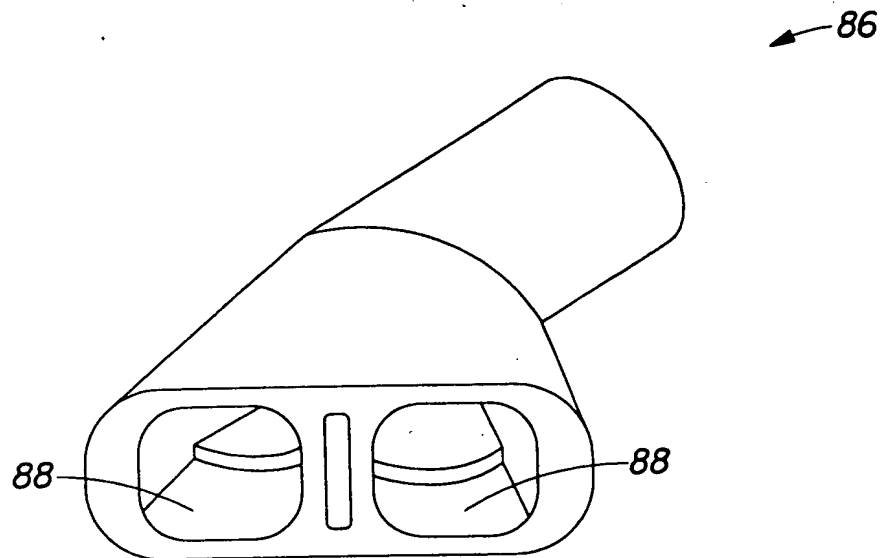


Fig. 15

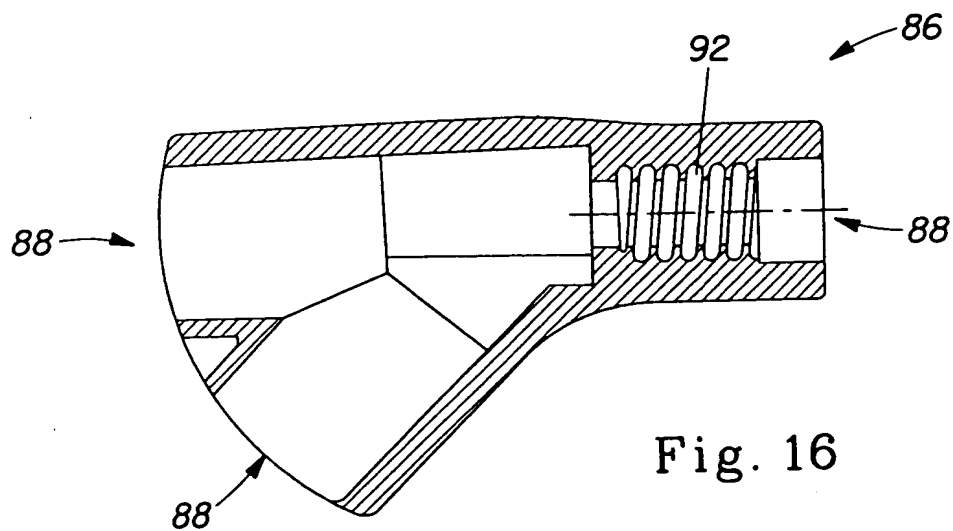


Fig. 16



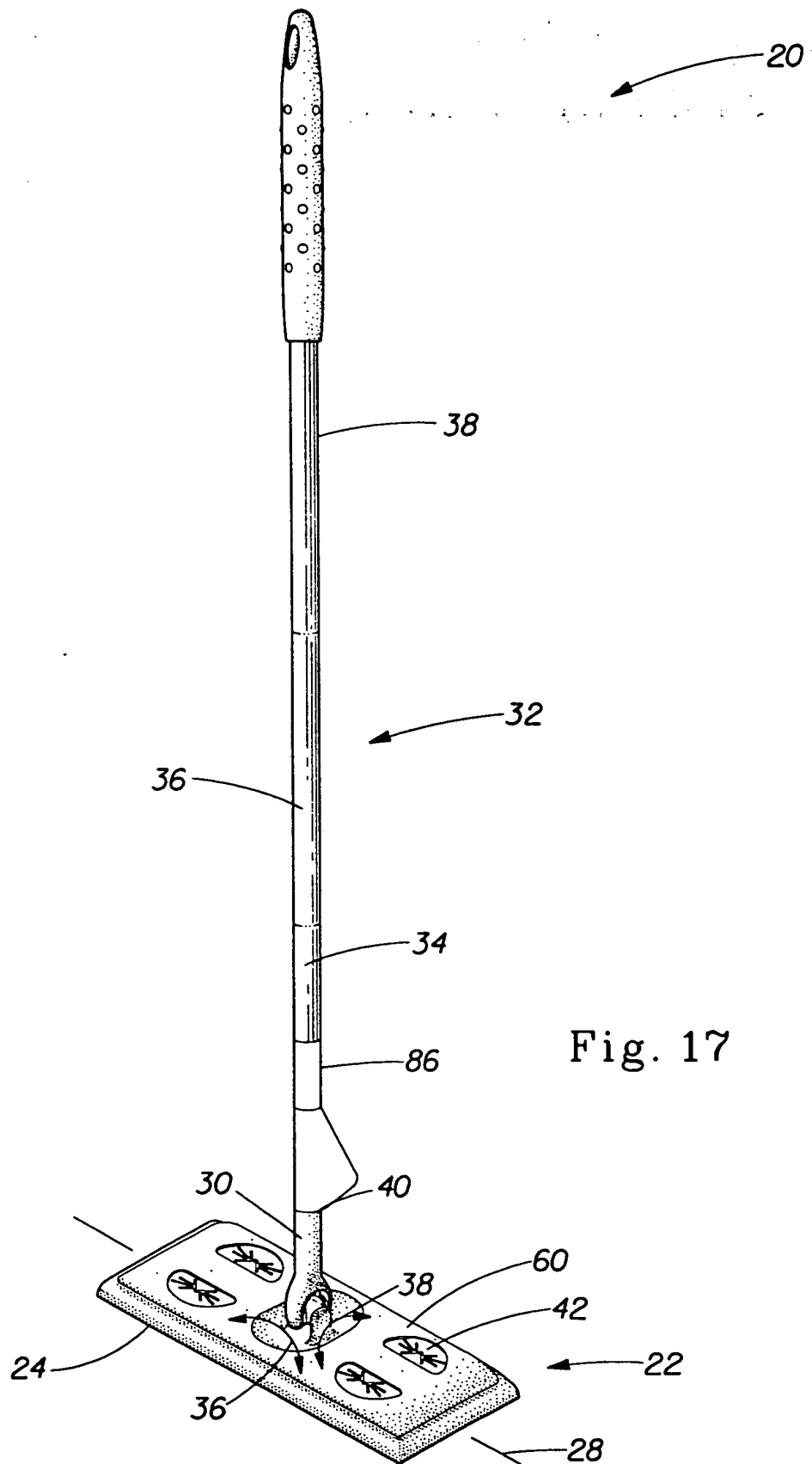


Fig. 17

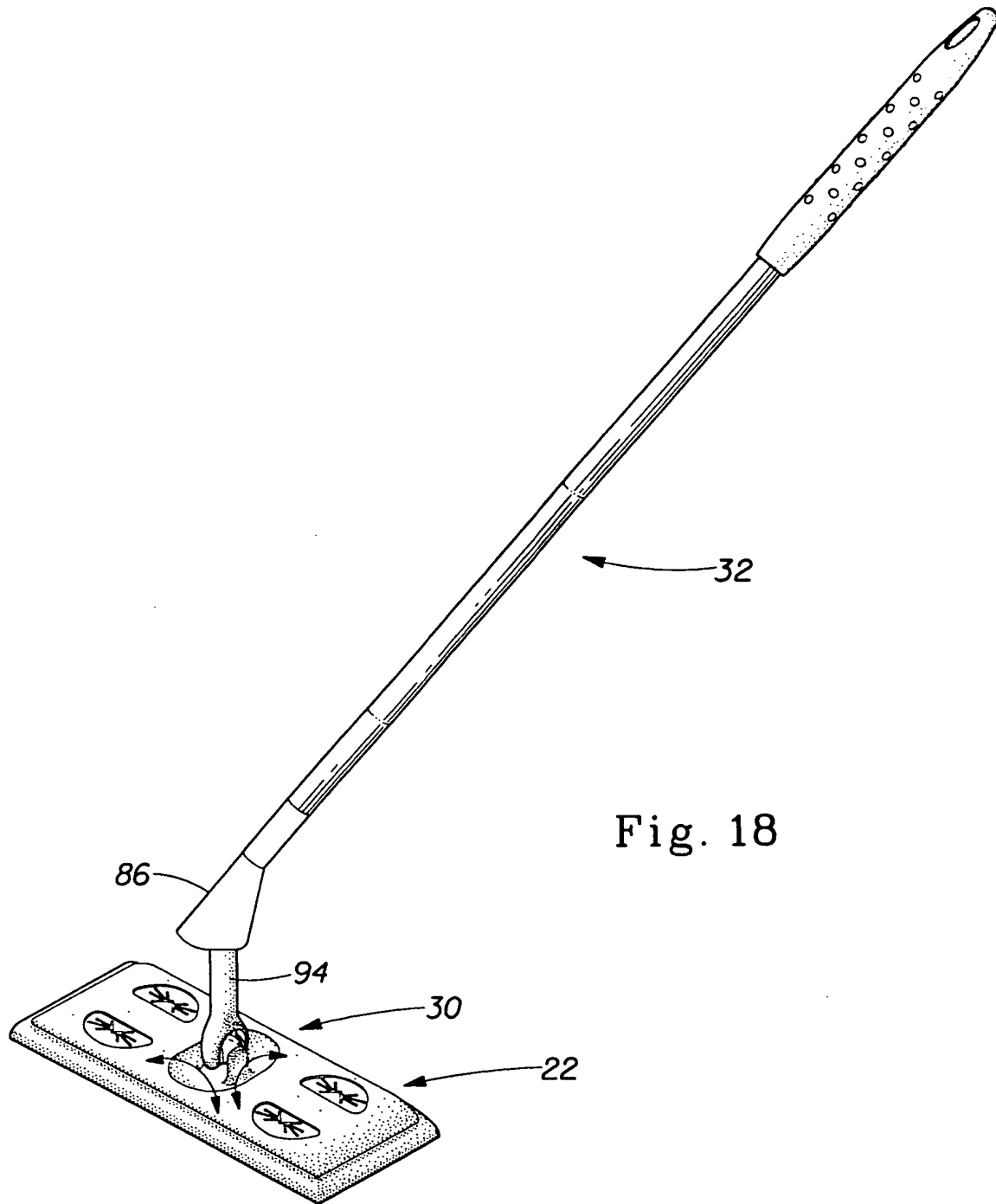


Fig. 18

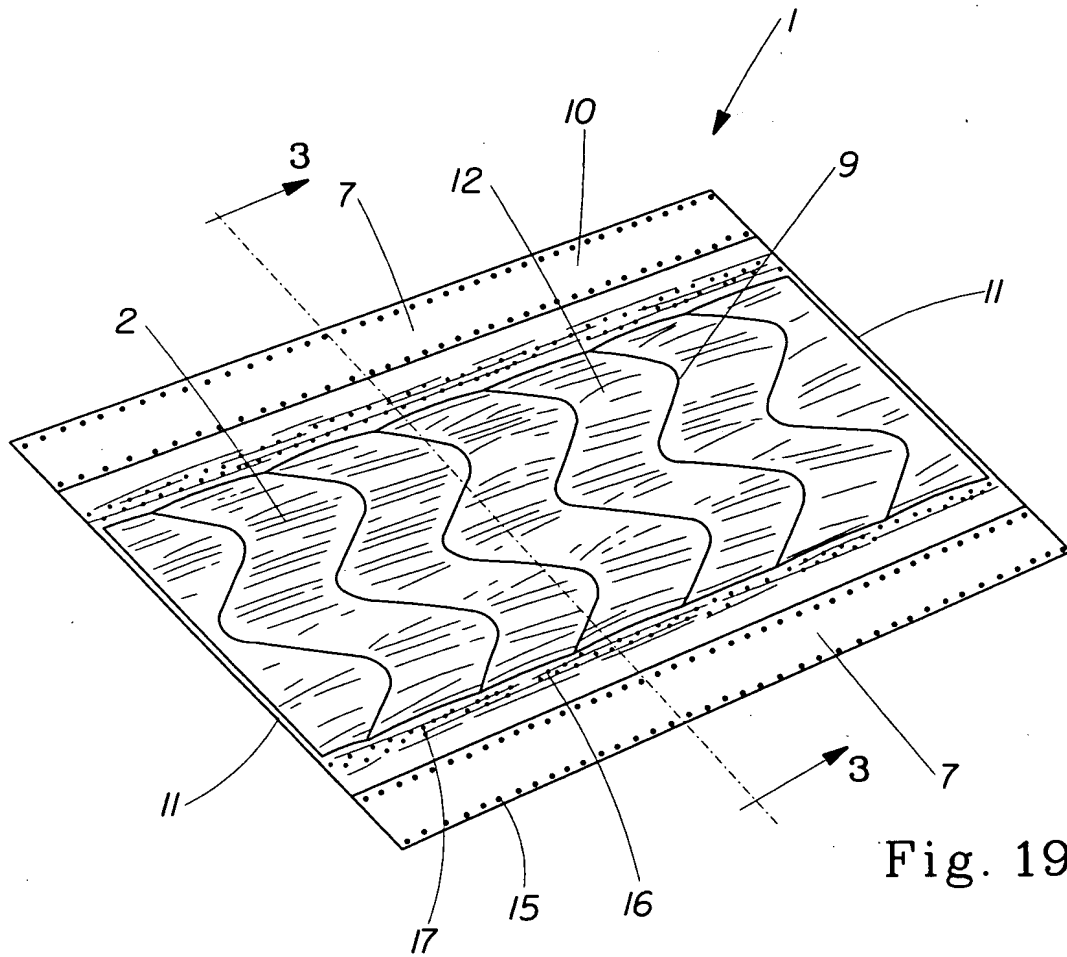


Fig. 19

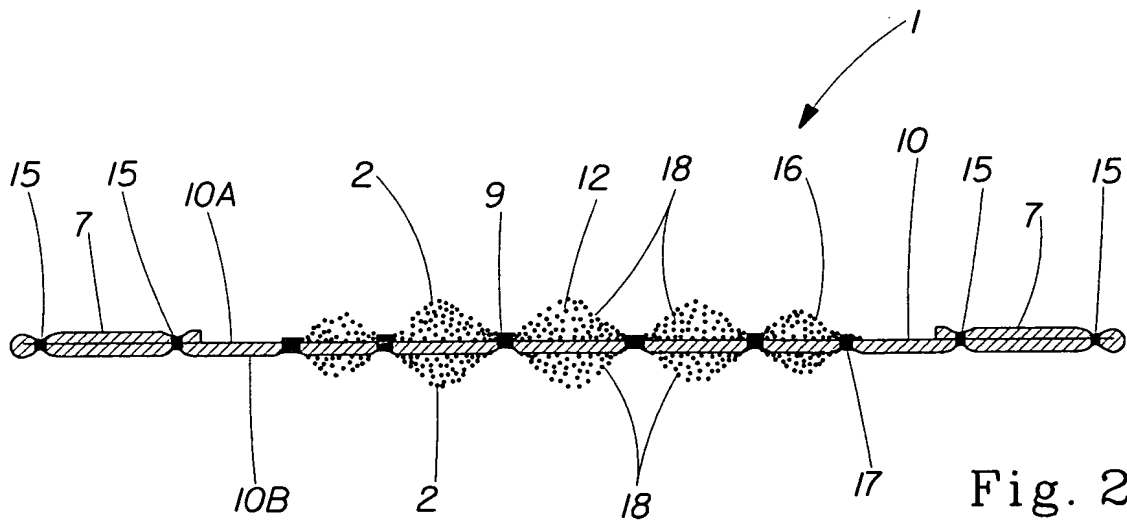


Fig. 20

12/19

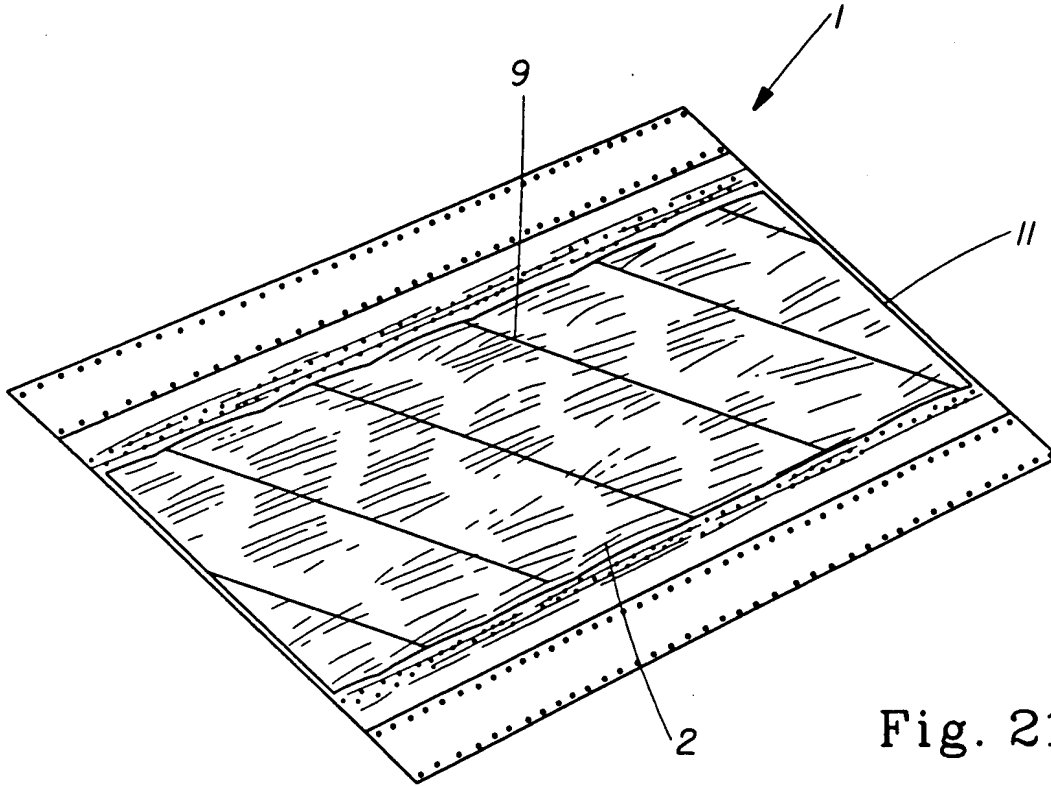


Fig. 21

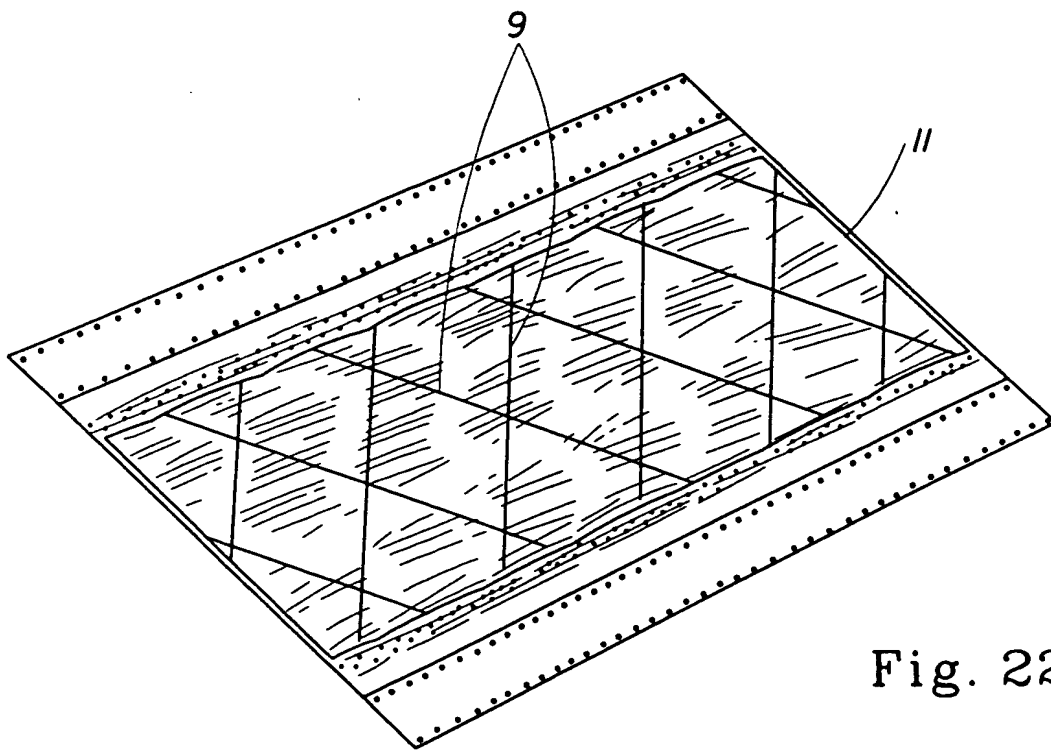


Fig. 22

13/19

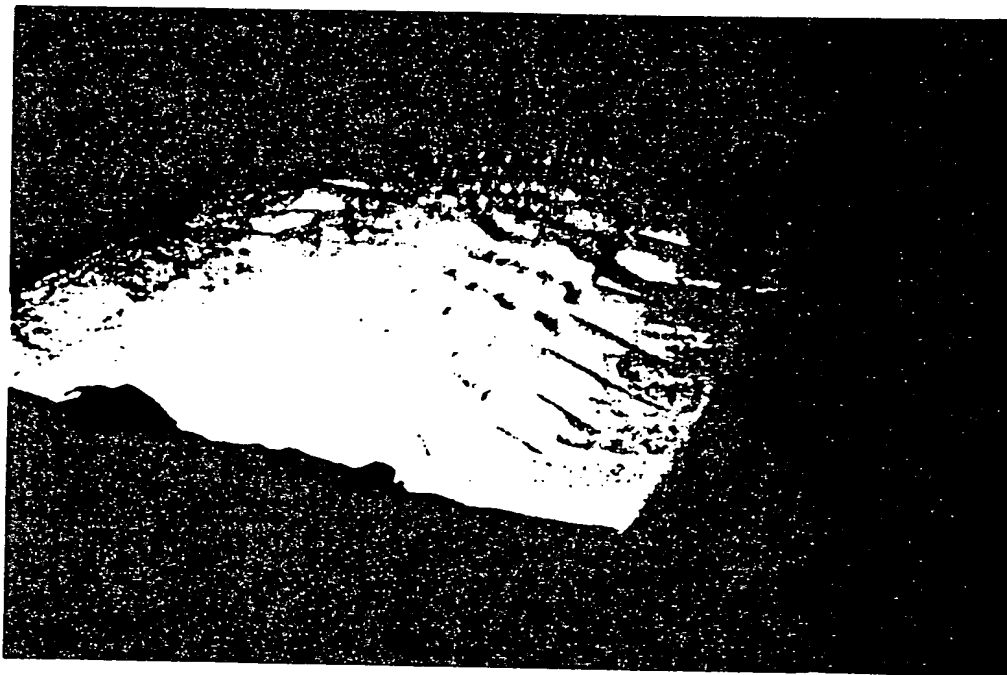


Fig. 23

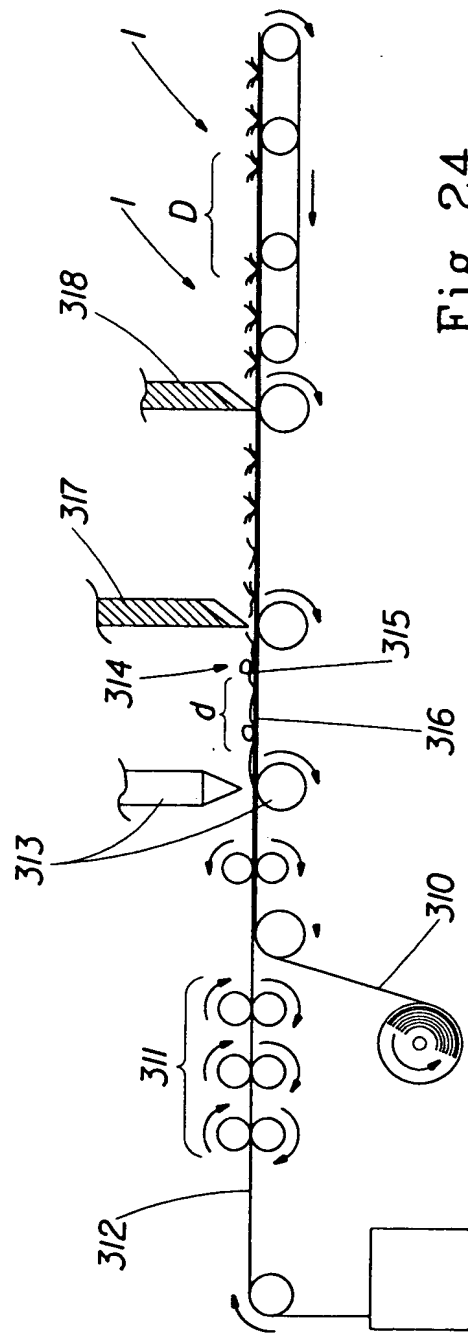


Fig. 24

15/19

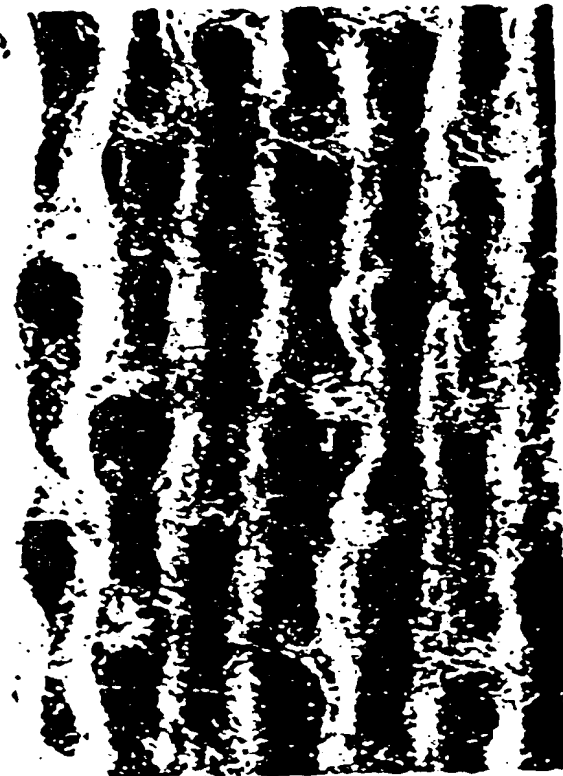


Fig. 25

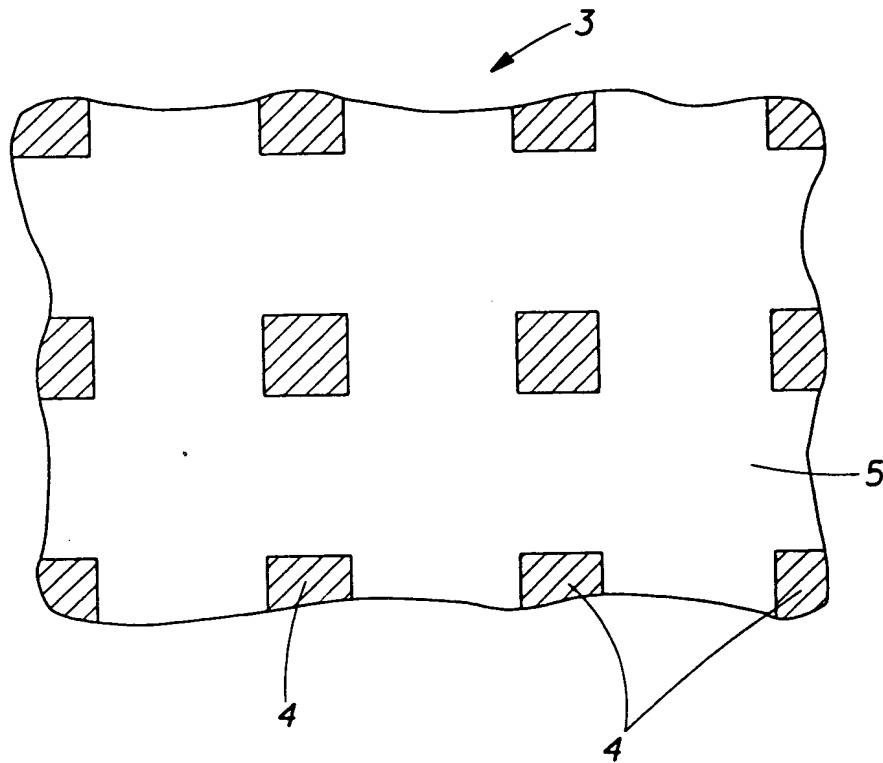


Fig. 26



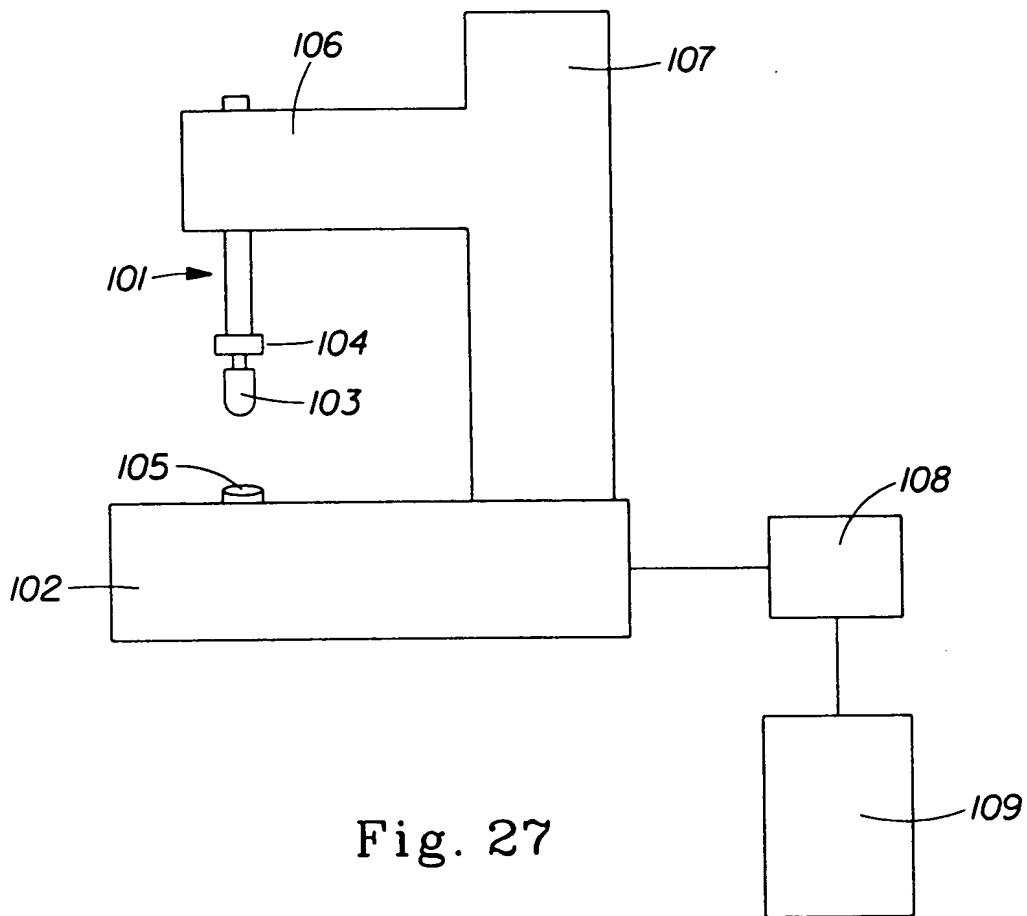


Fig. 27

18/19

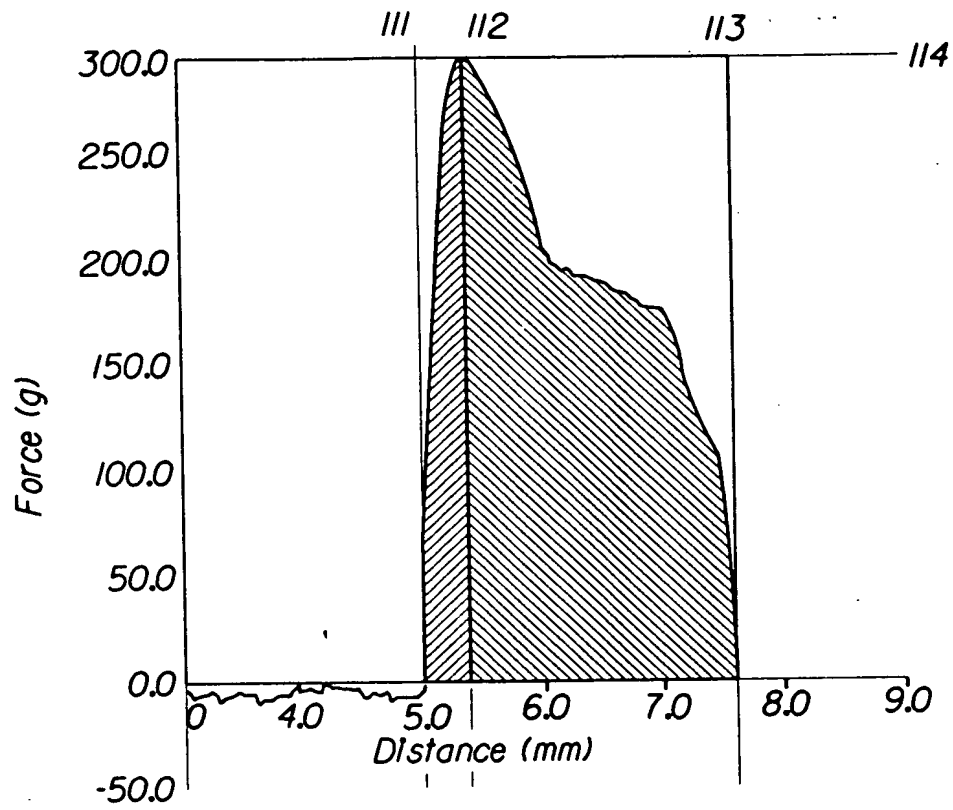


Fig. 28

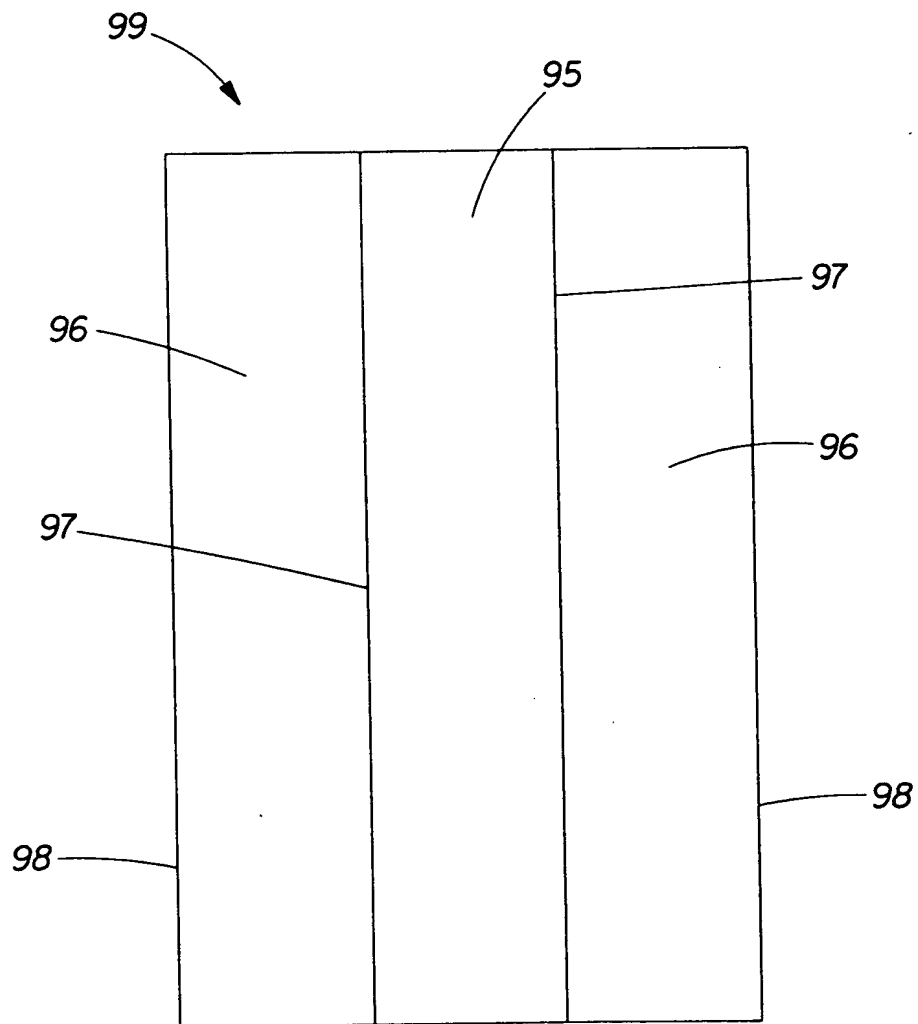


Fig. 29